

บทที่ 5

การออกแบบวงจรกรองความถี่ด้วยการกระจายแบบแกสเซียนสองมิติ สำหรับภาพอัลตราชานด์แบบมีสารเพิ่มความคมชัด

บทนี้จะกล่าวถึงการอุปกรณ์กรองความถี่ด้วยการกระจายแบบแกสเซียนสองมิติสำหรับภาพอัลตราชานด์แบบมีสารเพิ่มความคมชัด โดยแนวคิดในการออกแบบได้มาจากคุณลักษณะทางความถี่ของวงจรกรองความถี่ที่ได้สรุปไว้ในบทที่แล้ว นั่นคือ วงจรกรองความถี่ด้วยสารเพิ่มความคมชัดต้องผ่านความถี่ตรงตำแหน่งที่อัตราส่วนของกำลังเฉลี่ยสัญญาณจากการเพิ่มความคมชัดต่อสัญญาณของเนื้อเยื่อมีค่าสูง เพื่อให้วงจรกรองความถี่มีความสามารถที่จะแยกองค์ประกอบของอนิกอันดับสองที่เกิดจากสารเพิ่มความคมชัดได้

5.1 ทฤษฎีการอุปกรณ์

ผลตอบสนองความถี่ความถี่ของวงจรกรองความถี่ด้วยการแปลงฟูเรียร์ เติ่มหน่วยสามารถแสดงได้ด้วย [1]

$$H(e^{j\omega_{1k}}, e^{j\omega_{2l}}) = \sum_{n_1=0}^{N_1-1} \sum_{n_2=0}^{N_2-1} h(n_1, n_2) \exp(-jn_1\omega_{1k}) \exp(-jn_2\omega_{2l}) \quad (5-1)$$

โดยที่ $H(e^{j\omega_{1k}}, e^{j\omega_{2l}})$ คือผลตอบสนองความถี่ความถี่ของวงจรกรองความถี่ด้วยการแปลงฟูเรียร์ คือค่าความถี่ของวงจรกรองความถี่ n_1 และ n_2 คือความยาวของค่าความถี่ ω_{1k} และ ω_{2l} (เป็นจำนวนเต็มบวกกี่) ในแนว n_1 และ n_2 ตามลำดับ ซึ่งถ้าฟลักของผลตอบสนองความถี่เป็นเชิงเส้น และ แอมพลิจูดของผลตอบสนองความถี่มีความสมมาตรต่อจุดกำเนิด (Centro symmetry) (จุดกำเนิดคือจุด $(0, 0)$ ในโดเมนความถี่) จะได้ว่า $h(n_1, n_2)$ เป็นจำนวนจริงและมีความสมมาตรตามสมการ $h(n_1, n_2) = h(N_1 - 1 - n_1, N_2 - 1 - n_2)$ เราสามารถเขียนผลตอบสนองความถี่ความถี่ของวงจรกรองความถี่ด้วยการแปลงฟูเรียร์ (5-1) ว่า

$$H(e^{j\omega_{1k}}, e^{j\omega_{2l}}) = G(\omega_{1k}, \omega_{2l}) \exp(j\phi(\omega_{1k}, \omega_{2l})) \quad (5-2)$$

โดยที่ $G(\omega_{1k}, \omega_{2l})$ คือขนาดของผลตอบสนองความถี่ที่ต้องการ และ $\phi(\omega_{1k}, \omega_{2l})$ คือเฟสเชิงเส้นของผลตอบสนองความถี่ซึ่งสามารถหาได้จาก [2]

$$\phi(\omega_{1k}, \omega_{2l}) = -\frac{N_1-1}{2}\omega_{1k} - \frac{N_2-1}{2}\omega_{2l} \quad (5-3)$$

โดยที่ $\omega_{1k} = (2\pi k / M_1) - \pi$, $k = 0, 1, \dots, M_1 - 1$ และ $\omega_{2l} = (2\pi l / M_2) - \pi$, $l = 0, 1, \dots, M_2 - 1$ เมื่อกำหนดให้ $N_1 = N_2 = N$ จะได้ค่า $(N-1)/2$ คือ Phase delay ของสัญญาณเอาต์พุตนั้นเอง

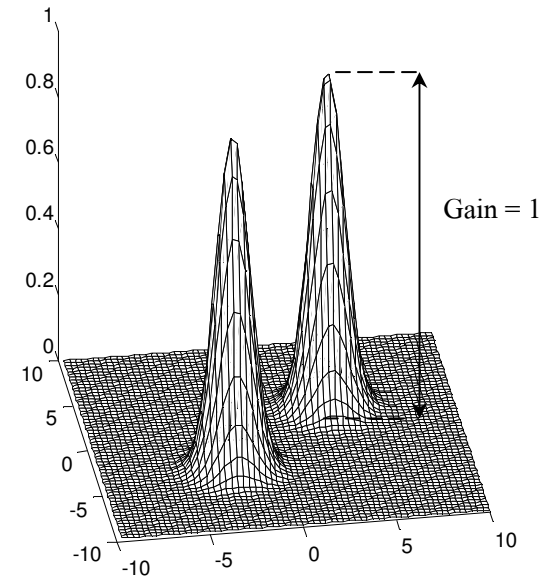
เพื่อให้ผลตอบสนองความถี่มีความสอดคล้องกับคุณลักษณะของวงจรกรองความถี่คราติกที่เหมาะสมกับการแยกสัญญาณาร์มอนิกอันดับสอง ขนาดของผลตอบสนองความถี่ (Magnitude frequency response) คือ $G(\omega_{1k}, \omega_{2l})$ จึงถูกออกแบบให้มีการกระจายแบบเกาส์เชียนแล้วกระบวนการนอมอลไซซ์ (Normalization) ขนาดสูงสุดเป็นหนึ่ง ซึ่งมีจุดศูนย์กลางอยู่ที่ $(\omega_{a1}, \omega_{b1})$ และ $(\omega_{a2}, \omega_{b2})$ ซึ่งแสดงได้ด้วยสมการ [3]

$$G(\omega_{1k}, \omega_{2l}) = \frac{G_1(\omega_{1k}, \omega_{2l}) + G_2(\omega_{1k}, \omega_{2l})}{\max\{G_1, G_2\}} \quad (5-4)$$

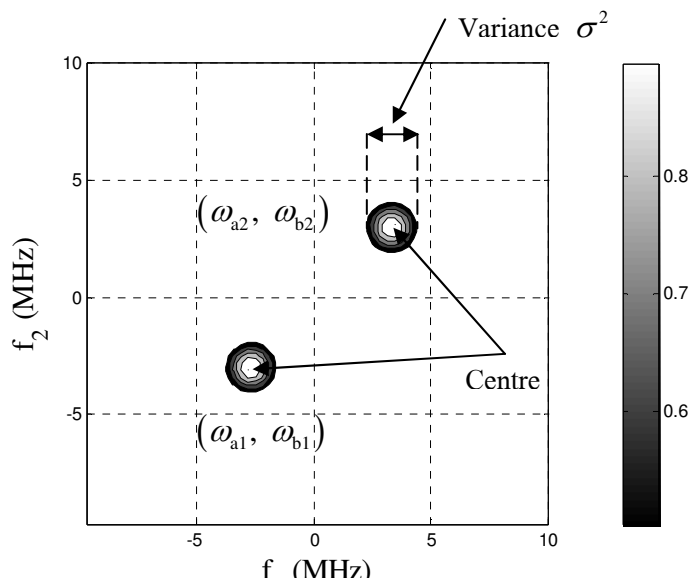
ซึ่ง

$$G_i(\omega_{1k}, \omega_{2l}) = \exp\left(-\frac{(\omega_{1k} - \omega_{ai})^2 + (\omega_{2l} - \omega_{bi})^2}{2\sigma^2}\right), i = 1, 2 \quad (5-5)$$

โดยที่ $G_1(\omega_{1k}, \omega_{2l})$ และ $G_2(\omega_{1k}, \omega_{2l})$ คือการกระจายแบบเกาส์เชียนสองมิติที่มีจุดศูนย์กลาง $(\omega_{a1}, \omega_{b1})$ และ $(\omega_{a2}, \omega_{b2})$ ตามลำดับ, σ คือค่าเบี่ยงเบนมาตรฐานของการกระจายแบบเกาส์เชียน ภาพประกอบ 5-3 แสดงคุณลักษณะของวงจรกรองความถี่คราติกในโดยเมนความถี่โดยมีจุดศูนย์กลาง (3, 3) และ (-3, -3) ค่าความแปรปรวน 0.34 (กำหนดให้ $M_1 = M_2 = 64$) ในการออกแบบจุดศูนย์กลาง $(\omega_{a1}, \omega_{b1})$ และ $(\omega_{a2}, \omega_{b2})$ สำหรับวงจรกรองความถี่คราติกที่เหมาะสมสำหรับภาพอัลตราซาวน์ที่มีสารเพิ่มความคงทนซึ่งต้องอยู่ในบริเวณที่มีอัตราส่วนของกำลังเฉลี่ยสัญญาณจากสารเพิ่มความคงทนซึ่งต่อสัญญาณจากเนื้อเยื่อสูงที่สุด



(a)



(b)

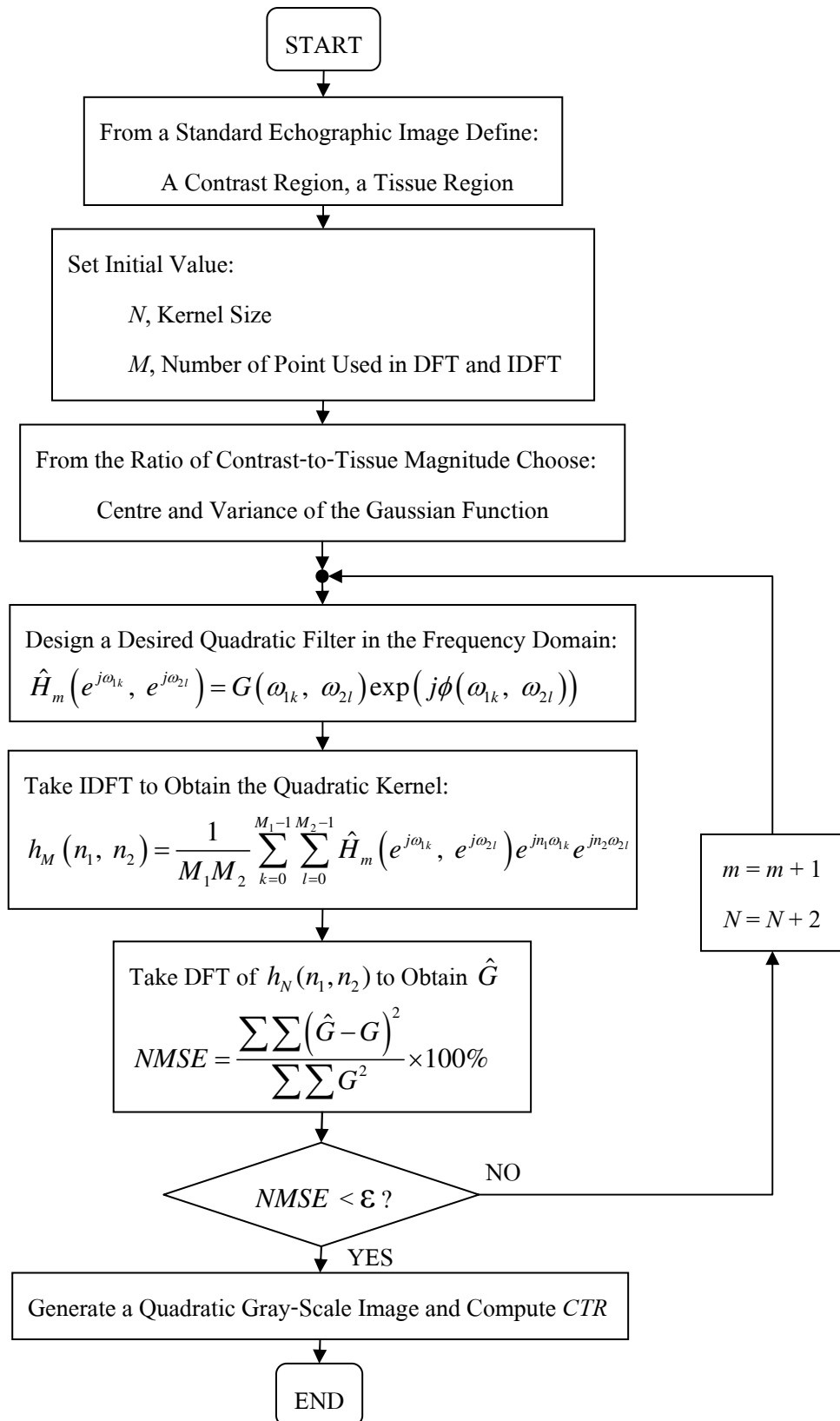
ภาพประกอบ 5-1 (a) ภาพสามมิติของวงจรกรองความถี่ดิจิติก (b) การเลื่อนจุดศูนย์กลาง (Centre point) และค่าความแปรปรวน (Variance) ของวงจรกรองเก้าส์เชิงสองมิติ
ที่มีความสมมาตรตรงชุดกำเนิด

ผลตอบสนองอิมพัลส์ของวงจรกรองความถี่ตราติก $h(n_1, n_2)$ ที่ออกแบบให้ขนาดของผลตอบสนองความถี่ความถี่ตราติกมีการกระจายแบบเกาส์เชิงเส้น มีความสมมาตรตรงจุดกำเนิด และมีเฟสเชิงเส้น สามารถหาได้โดยการแปลงฟูเรียร์เติ่มหน่วยแบบกลับดังนี้

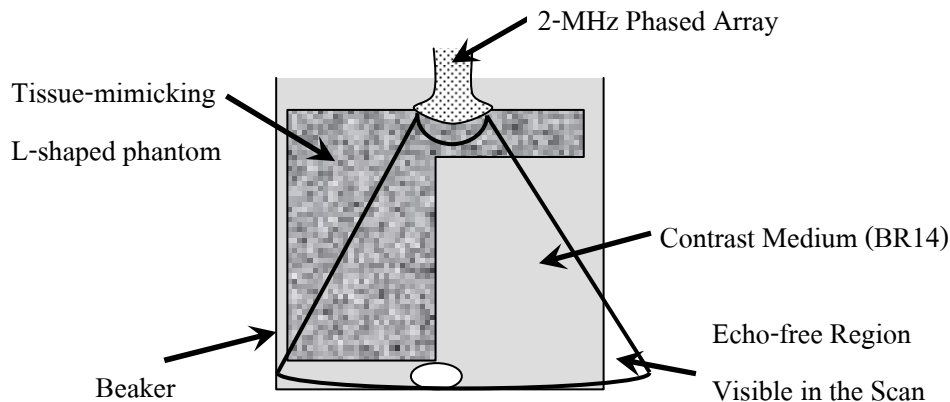
$$h(n_1, n_2) = \frac{1}{M_1 M_2} \sum_{k=0}^{M_1-1} \sum_{l=0}^{M_2-1} \hat{H}(e^{j\omega_{1k}}, e^{j\omega_{2l}}) e^{jn_1\omega_{1k}} e^{jn_2\omega_{2l}} \quad (5-6)$$

โดยที่ $\hat{H}(e^{j\omega_{1k}}, e^{j\omega_{2l}}) = G(\omega_{1k}, \omega_{2l}) \exp(j\phi(\omega_{1k}, \omega_{2l}))$ คือผลตอบสนองความถี่ที่ต้องการออกแบบ, M_1 และ M_2 คือจำนวนจุดที่ใช้ในการคำนวณสำหรับการแปลงฟูเรียร์เติ่มหน่วยในแนว ω_{1k} และ ω_{2l} ตามลำดับ สำหรับการออกแบบจะเลือกให้ $M_1 = M_2 = M$ ซึ่งมีค่าเท่ากัน 2^n เมื่อ n เป็นจำนวนเต็มบวก และกำหนดให้ $N_1 = N_2 = N$ คือจำนวนสมาชิกของเวกเตอร์อินพุตหรือเอาต์พุต ทำให้ $h(n_1, n_2)$ มีขนาด $N \times N$

จากแนวคิดในการออกแบบที่กล่าวมาสามารถสรุปเป็น Flowchart ของโปรแกรม ได้ดังภาพประกอบ 5-2 ซึ่งแสดงวิธีการออกแบบวงจรกรองความถี่ตราติก โดยอาศัยอัตราส่วนของกำลังเพลี้ยของสัญญาณจากสารเพิ่มความคอมพ์ชัคต่อเนื่อเยื่อ ซึ่งการออกแบบวงจรกรองความถี่ตราติก ต้องการให้มีขนาดของเคอนอล (N) น้อยที่สุด จึงเลือกค่าคงที่ที่มีขนาดไม่สูงมากนักเป็นค่าเริ่มต้น แล้วจึงเพิ่มค่าขึ้นจนกระทั่งเคอนอลความถี่ตราติกให้ผลตอบสนองความถี่ความถี่ตราติกอยู่ในค่าที่ยอมรับ ได้มีเมื่อเทียบกับผลตอบสนองความถี่ความถี่ตราติกที่ต้องการ



ภาพประกอบ 5-2 Flowchart ของโปรแกรม



ภาพประกอบ 5-3 การติดตั้งเพื่อสแกนเนื้อเยื่อเทียมรูปตัวแอล

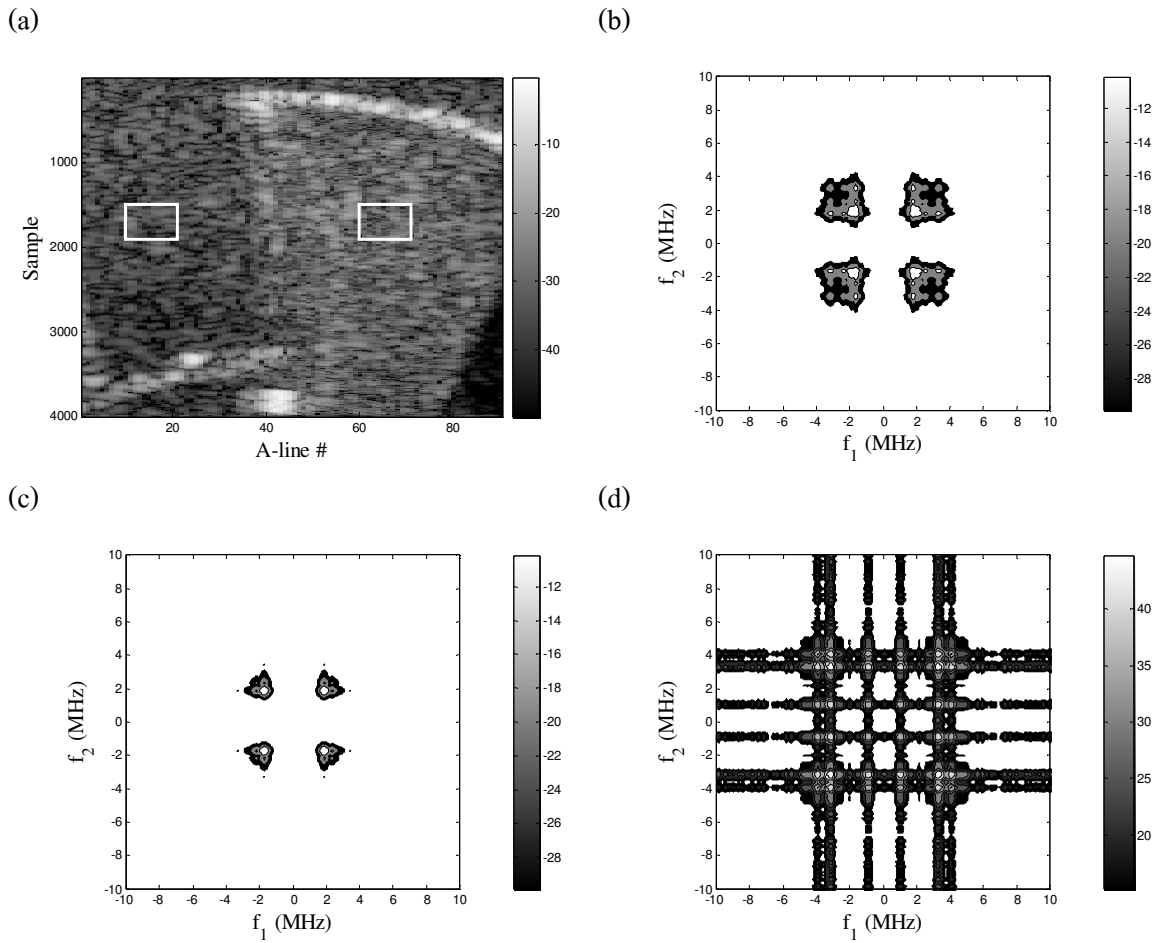
5.2 การประเมินผลกระทบของความติดตั้งที่ได้ออกแบบ

ในหัวข้อนี้จะกล่าวถึงการนำเอาของกระทองความติดตั้งที่ออกแบบจากวิธีการที่กล่าวในหัวข้อที่แล้วมาประยุกต์กับข้อมูลจริงที่ได้จากการทดลองและประเมินคุณภาพของภาพที่สร้างจากการกระทองความติดตั้งที่ได้ออกแบบ โดยวิธีประเมินจะทำการตรวจสอบจากความคมชัดของการเปรียบต่างและความคมชัดเชิงพื้นที่กับข้อมูลที่ได้จากการสแกนลิ่งไม่มีชีวิต อันได้แก่ ข้อมูลเนื้อเยื่อเทียมรูปตัวแอล (L-shape phantom) ซึ่งทราบบริเวณที่มีหรือบริเวณที่ไม่มีสารเพิ่มความคมชัด และการทดสอบกับข้อมูลที่ได้จากการสแกนลิ่งมีชีวิตที่ได้จากการไทดัม (ข้อมูลเดียวกันกับการทดลองที่ได้อธิบายในหัวข้อ 3.2.2) ข้อมูลสำหรับการประเมินมี 2 ชุดด้วยกันได้แก่

5.2.1 The L-shaped phantom

5.2.1.1 วัสดุที่ใช้และวิธีการทดลอง

สำหรับข้อมูลที่ใช้ในการประมวลผลในวิทยานิพนธ์นี้ได้รับความอนุเคราะห์จากบริษัท Bracco Research SA ประเทศสวิตเซอร์แลนด์ ซึ่งรายละเอียดของการทดลองและเครื่องมือที่ใช้มีดังต่อไปนี้ การทดลองมีการติดตั้งเป้าหมายดังภาพประกอบ 5-3 โดยการบรรจุสารเพิ่มความคมชัด BR14 (Bracco Research S.A., Geneva, Switzerland) ซึ่งประกอบด้วยก๊าซที่มีน้ำหนักโมเลกุลสูง ทึบคาย Flexible phospholipid shell เจือจางในน้ำกลีอตัวอัตราส่วน 1:4000 ลงไปในบีกเกอร์ (Beaker) และใส่เนื้อเยื่อเทียมซึ่งมีรูปตัวแอล โดยใช้ Probe แบบโค้ง ความถี่ 2 MHz เพื่อสแกนภาพ B-mode การบันทึกข้อมูลเก็บไว้ด้วยจำนวนนิบิต 15 บิต ความถี่สูมเท่ากับ 40 MHz



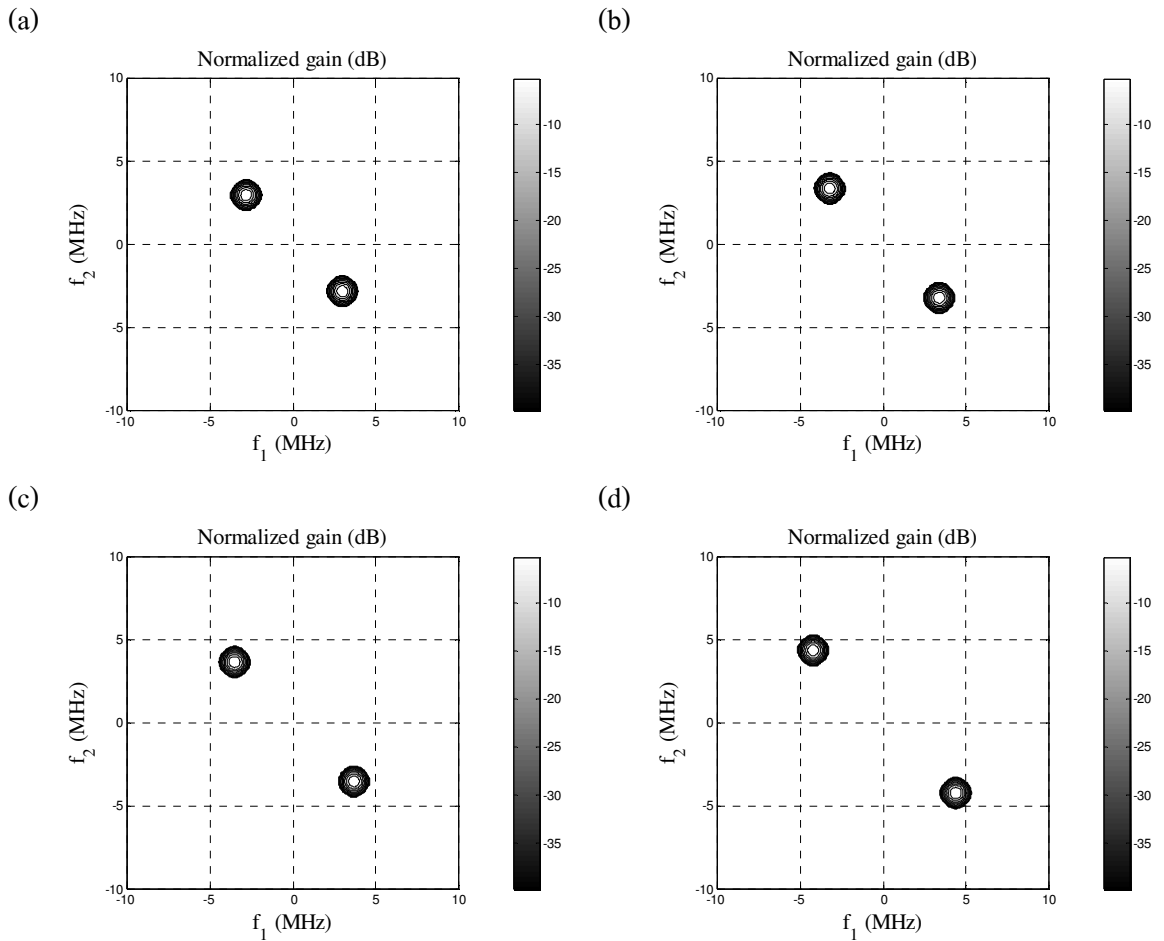
ภาพประกอบ 5-4 การวิเคราะห์ข้อมูลเนื้อเยื่อเทียมรูปตัวแอล (a) ภาพ B-mode (b) ผลตอบสนองความถี่ความตระติกของบริเวณที่มีสารเพิ่มความคงชัดสำหรับอัลตราซาวนด์ (c) ผลตอบสนองความถี่ความตระติกของบริเวณเนื้อเยื่อ (d) อัตราส่วนขนาดสเปกตรัมของสัญญาณจากสารเพิ่มความคงชัดต่อเนื้อเยื่อ

5.2.1.2 ผลการทดลองเมื่อปรับเปลี่ยนค่าพารามิเตอร์

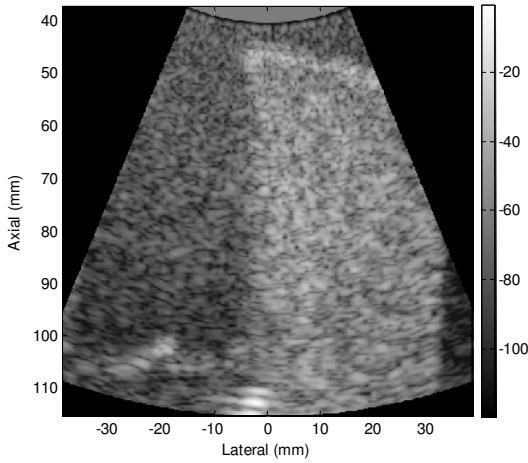
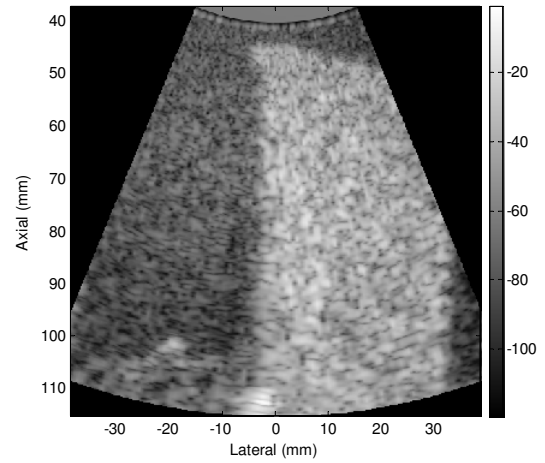
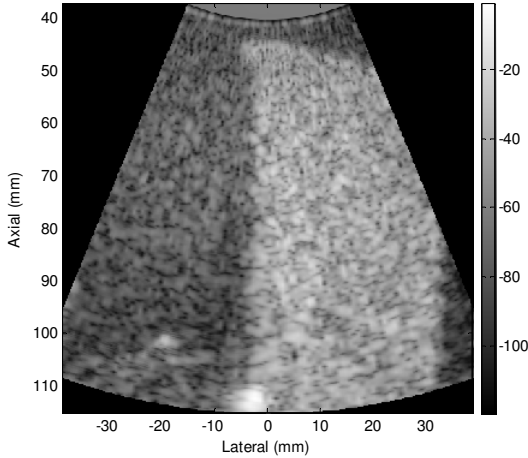
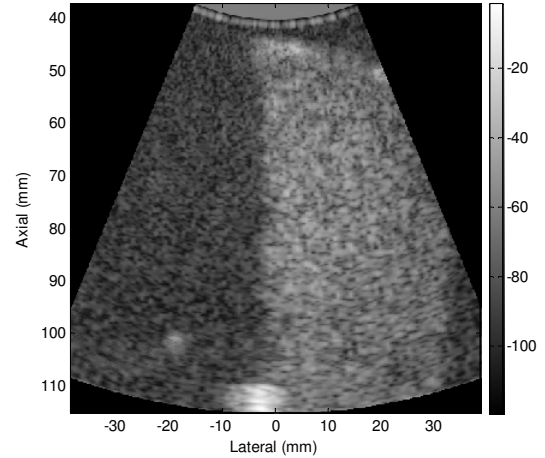
1) เมื่อปรับเปลี่ยนจุดศูนย์กลาง

ภาพประกอบ 5-4(a) แสดงภาพ B-mode ของการสแกนเนื้อเยื่อเทียมรูปตัวแอล (CTR = -1.1 dB) กำหนดบริเวณอ้างอิงที่ใช้สำหรับการหาสเปกตรัมเฉลี่ยของแต่ละบริเวณ (คือบริเวณเนื้อเยื่อและบริเวณที่มีสารเพิ่มความคมชัดสำหรับอัลตราซาวนด์ ดังกรอบสีขาวด้านซ้าย และขวาตามลำดับ) แสดงเป็นความถูกต้องสูงของสเปกตรัมสำหรับบริเวณที่มีสารเพิ่มความคมชัดสำหรับอัลตราซาวนด์และบริเวณเนื้อเยื่อ ตามภาพประกอบ 5-4(b) และ 5-4(c) ตามลำดับ เมื่อหาอัตราส่วนขนาดของสัญญาณจากสารเพิ่มความคมชัดต่อเนื้อเยื่อ ดังภาพประกอบ 5-4(d) จะเห็นว่าบริเวณที่อัตราส่วนดังกล่าวมีค่าสูงอยู่ 4 บริเวณซึ่งสามารถใช้เป็นข้อมูลพื้นฐานในการเลือกจุดศูนย์กลางสำหรับการออกแบบของโครงสร้างความถูกต้องต่อไป

เมื่อปรับเปลี่ยนจุดศูนย์กลางของวงจรกรองการแสดงผลดังภาพประกอบ 5-5 คือ (-2.90, 2.90) และ (2.90, -2.90), (-3.30, 3.30) และ (3.30, -3.30), (-3.60, 3.60) และ (3.60, -3.60), (-4.30, 4.30) และ (4.30, -4.30) และวนนำไปกรองภาพ B-mode จะให้ภาพ Gray scale ดังภาพประกอบ 5-6 ซึ่งให้ค่า CTR เท่ากับ 26.4, 40.3, 35.1 และ 31.1 dB ตามลำดับ และความคมชัดของการเปรียบต่างที่เหมาะสมซึ่งมีค่า CTR มากกว่าจุดอื่น ๆ คือจุดศูนย์กลาง (-3.30, 3.30) และ (3.30, -3.30) ให้ $CTR = 40.3 \text{ dB}$



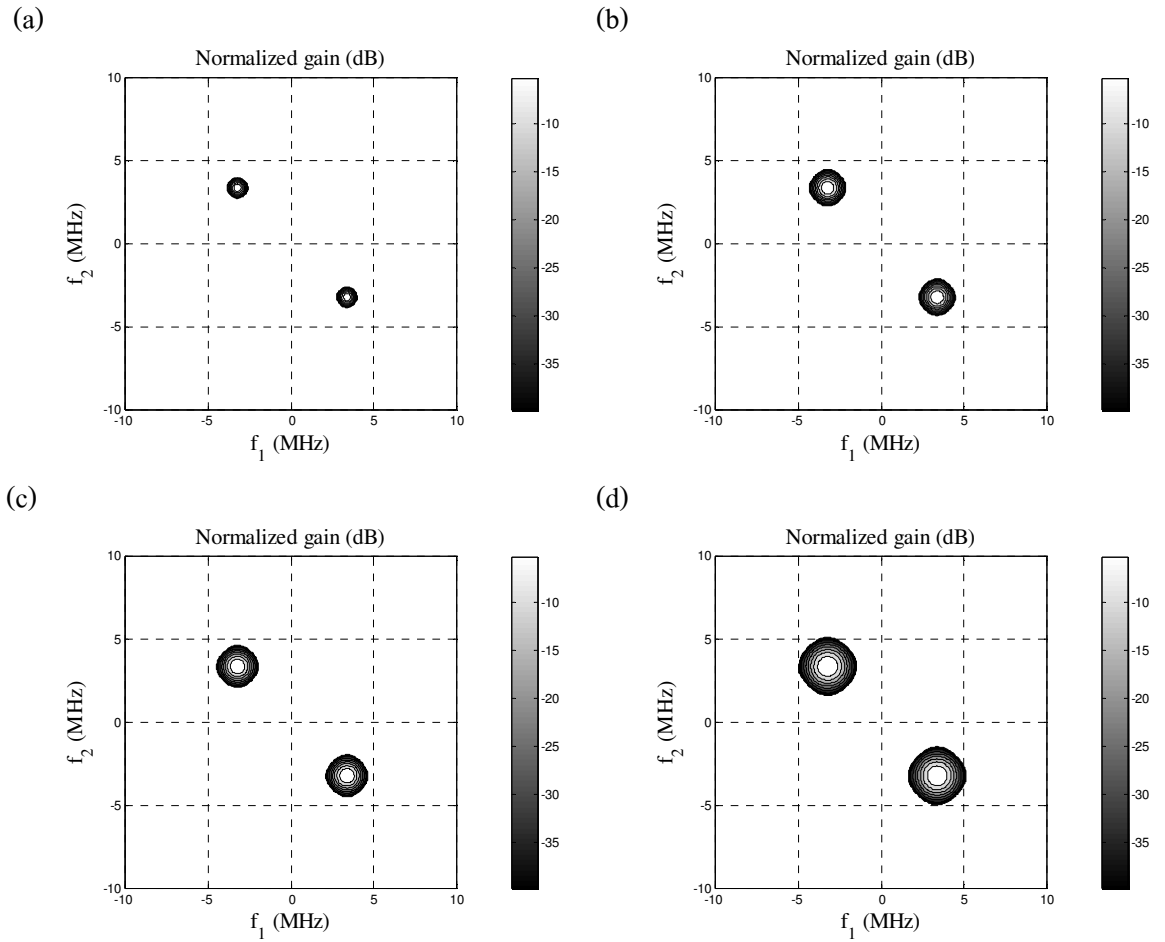
ภาพประกอบ 5-5 ขนาดของผลตอบสนองความถี่ ($|H(e^{j\omega_1}, e^{j\omega_2})|$) เมื่อเลื่อนจุดศูนย์กลางของวงจรกรองเกาส์เชิงสองมิติไปที่จุด (a) (-2.90, 2.90) และ (2.90, -2.90) (b) (-3.30, 3.30) และ (3.30, -3.30) (c) (-3.60, 3.60) และ (3.60, -3.60) (d) (-4.30, 4.30) และ (4.30, -4.30) (กำหนดค่า $\sigma = 0.30$, NFFT = 512, $N = 119$)

(a) $CTR = 26.4 \text{ dB}$ (b) $CTR = 40.3 \text{ dB}$ (c) $CTR = 35.1 \text{ dB}$ (d) $CTR = 31.1 \text{ dB}$ 

ภาพประกอบ 5-6 ภาพ Gray scale หลังจากผ่านวงจรกรอง โดยมีความแตกต่างของระดับโภนสีจาก
ขาวถึงดำ 110 dB เมื่อเลื่อนจุดศูนย์กลางของวงจรกรองแก๊สเชี่ยนสองมิติไปที่จุด

(a) (-2.90, 2.90) และ (2.90, -2.90) (b) (-3.30, 3.30) และ (3.30, -3.30)

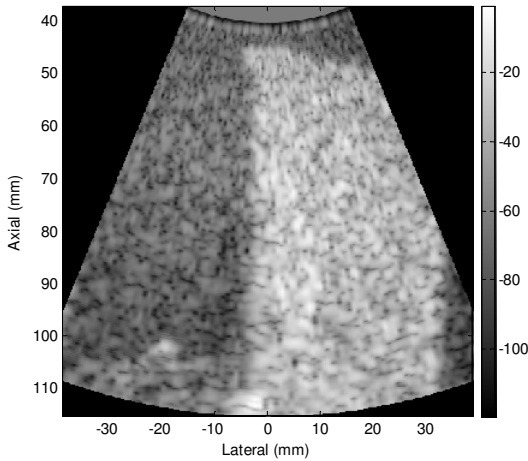
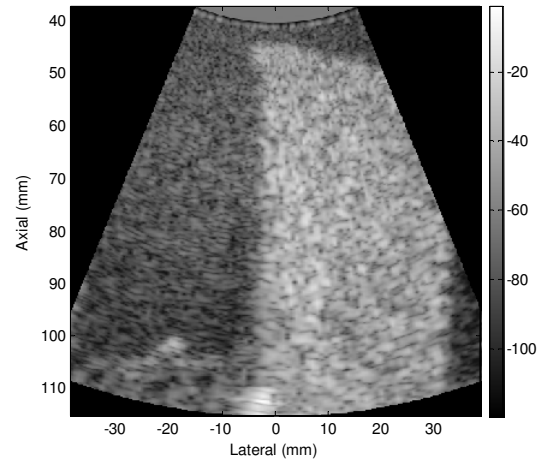
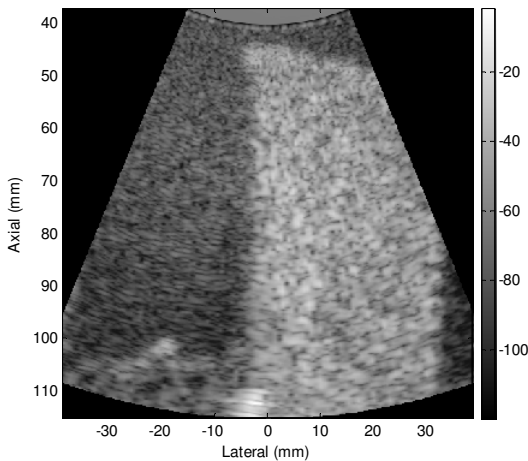
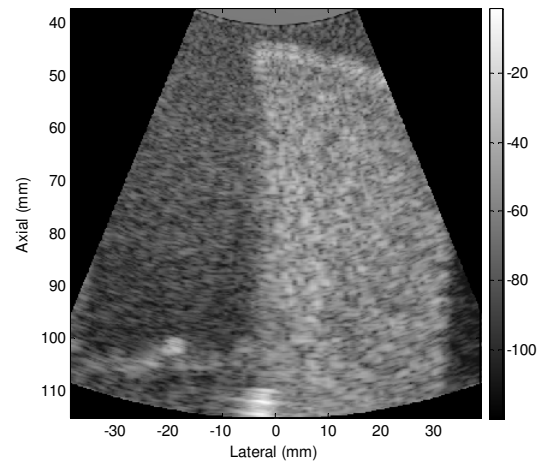
(c) (-3.60, 3.60) และ (3.60, -3.60) (d) (-4.30, 4.30) และ (4.30, -4.30)



ภาพประกอบ 5-7 ขนาดของผลตอบสนองความถี่ ($|H(e^{j\omega_1}, e^{j\omega_2})|$) เมื่อปรับค่าความแปรปรวนของวงจรกรองเก้าส์เชิงสองมิติ (a) $\sigma = 0.20$, (b) $\sigma = 0.35$, (c) $\sigma = 0.40$, (d) $\sigma = 0.55$
 กำหนดให้จุดศูนย์กลาง $(-3.30, 3.30)$ และ $(3.30, -3.30)$, NFFT = 512
 มี Kernel size เท่ากับ 179, 103, 89, และ 65 ตามลำดับ

2) เมื่อปรับเปลี่ยนค่าความแปรปรวน

กำหนดให้จุดศูนย์กลาง $(-3.30, 3.30)$ และ $(3.30, -3.30)$ แล้วปรับค่าความแปรปรวนของผลตอบสนองความถี่ของratioจากค่าเบื้องบนมาตรฐานเท่ากับ 0.20, 0.35, 0.40 และ 0.55 ดังภาพประกอบ 5-7 ตามลำดับ ภาพ Gray scale หลังจากผ่านวงจรกรองแสดงดังภาพประกอบ 5-8 จะเห็นว่าความคมชัดของการเปรียบต่างลดลงตามลำดับ นั่นคือ CTR เท่ากับ 41.3, 39.0, 37.3 และ 30.0 dB แต่การปรับค่าเบื้องบนมาตรฐานต่ำเกินไป คือ σ เท่ากับ 0.20 จะสูญเสียความคมชัดเชิงพื้นที่ ค่าที่เหมาะสมสำหรับการปรับเปลี่ยนคือ σ เท่ากับ 0.40

(a) $CTR = 41.3 \text{ dB}$ (b) $CTR = 39.0 \text{ dB}$ (c) $CTR = 37.3 \text{ dB}$ (d) $CTR = 30.0 \text{ dB}$ 

ภาพประกอบ 5-8 ภาพ Gray scale หลังจากผ่านวงจรกรอง โดยมีความแตกต่างของระดับโภนสีจากขาวถึงดำ 110 dB เมื่อปรับค่าความแปรปรวนของวงจรกรองเก้าส์เซียนสองมิติเป็น (a) $\sigma = 0.20$, (b) $\sigma = 0.35$, (c) $\sigma = 0.40$, (d) $\sigma = 0.55$ ตามภาพประกอบ 5-7(a), (b), (c), และ (d) ตามลำดับ

5.2.2 *In-vivo* data

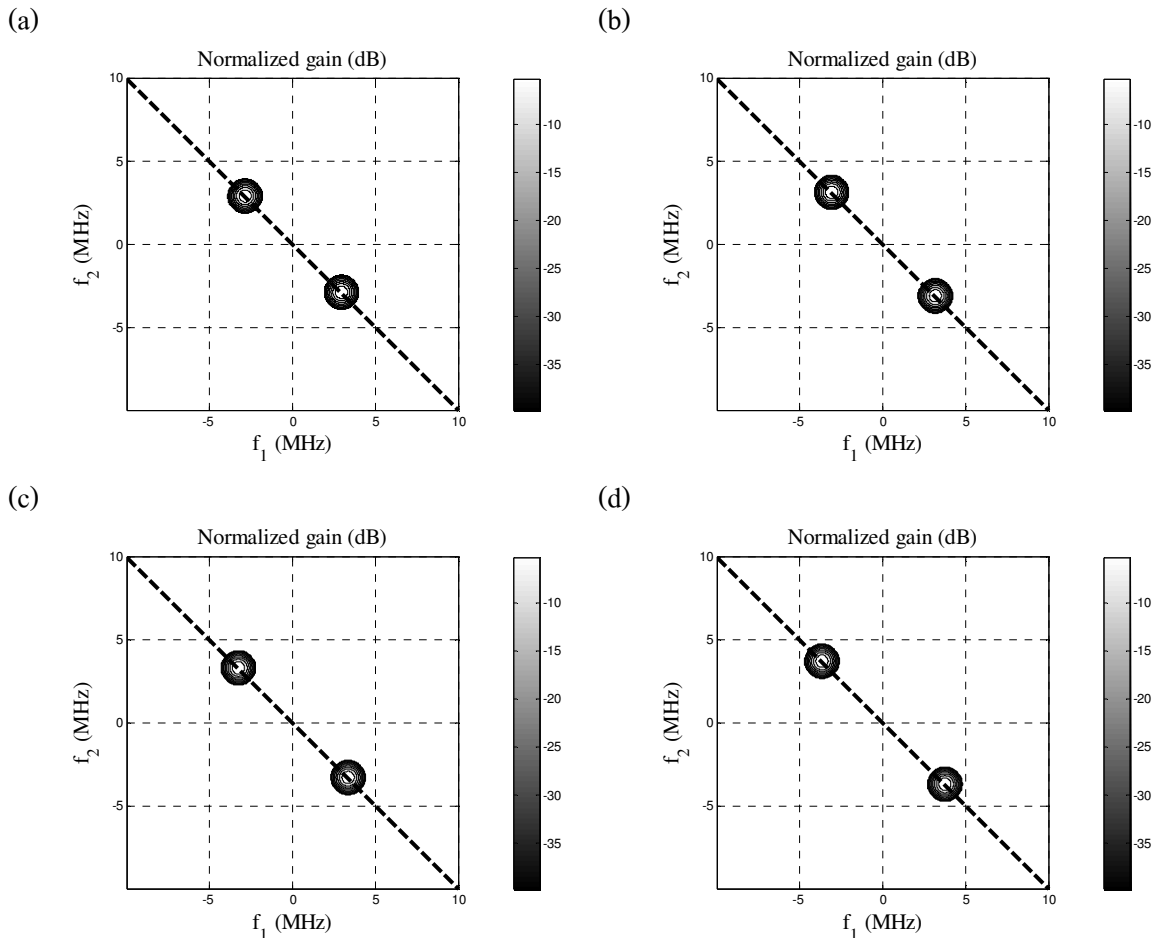
5.2.2.1 วัสดุที่ใช้และวิธีการทดลอง

ข้อมูลการทดลองได้จากการสแกนไถหมูเป็นข้อมูลเดิมที่ได้ทำการทดลองมาก่อนแล้วดังนั้นรายละเอียดวิธีการเก็บข้อมูลรวมทั้งวิธีวิเคราะห์ต่าง ๆ จึงได้จากหัวข้อ 3.2.2 และเมื่อใช้วิธีการออกแบบแบบใหม่จะได้ผลการทดลองเป็นดังนี้

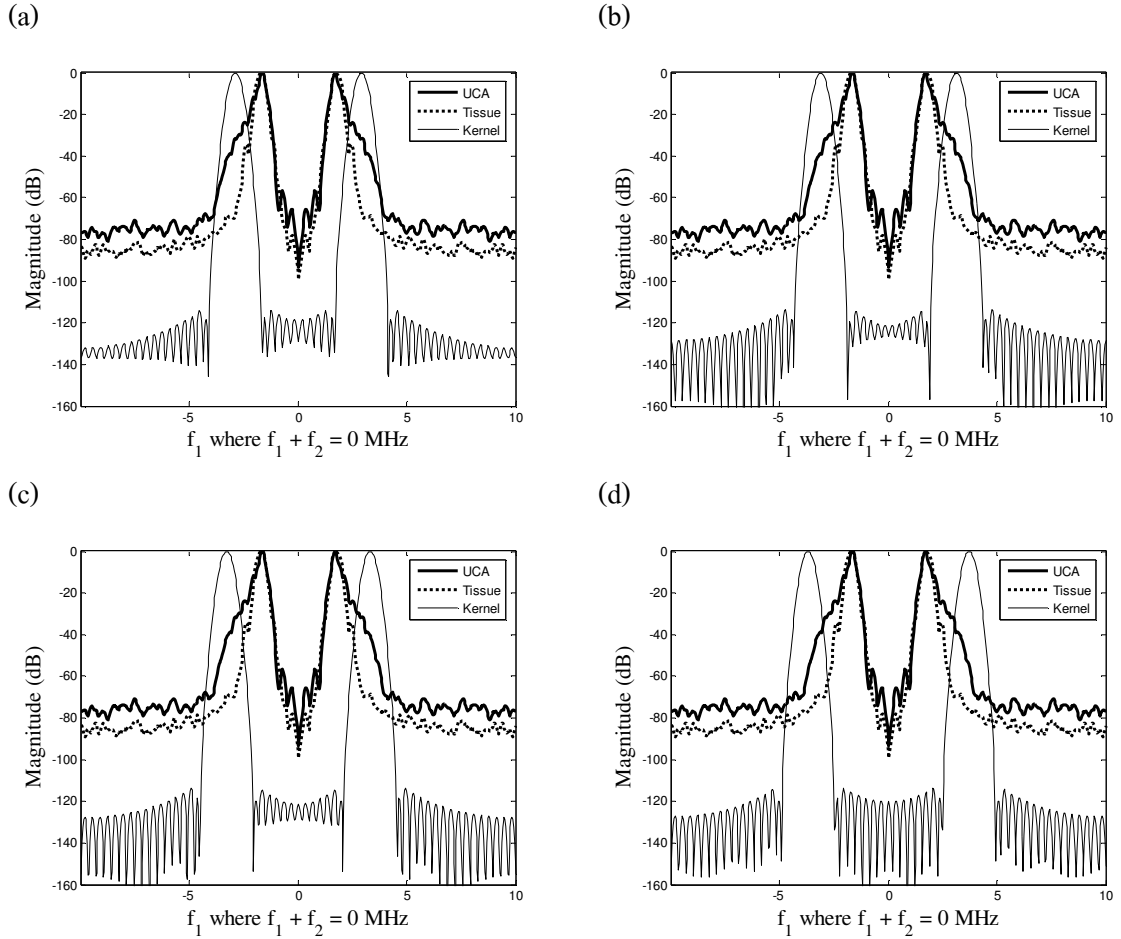
5.2.2.2 ผลการทดลองเมื่อปรับเปลี่ยนพารามิเตอร์

1) เมื่อปรับเปลี่ยนจุดศูนย์กลาง

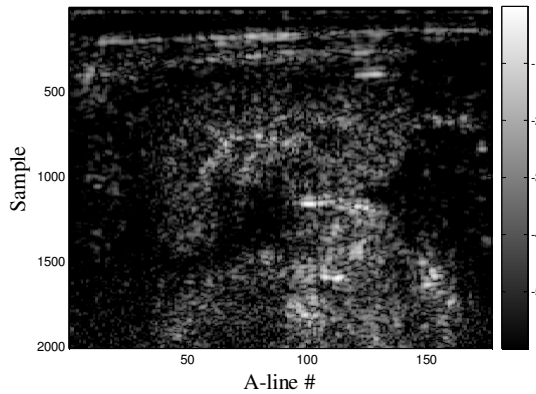
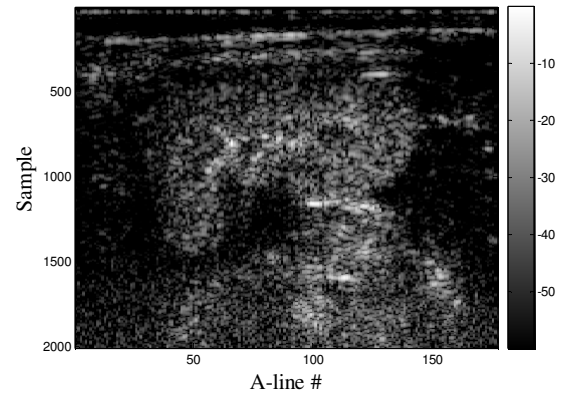
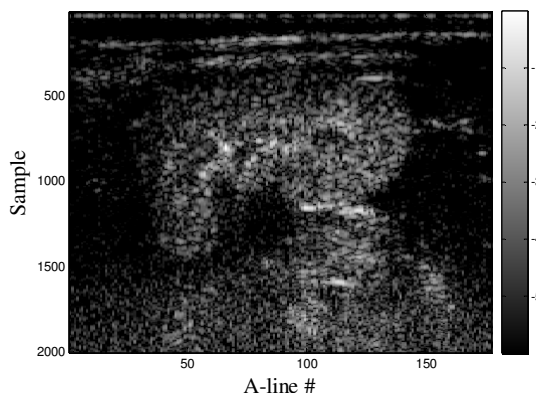
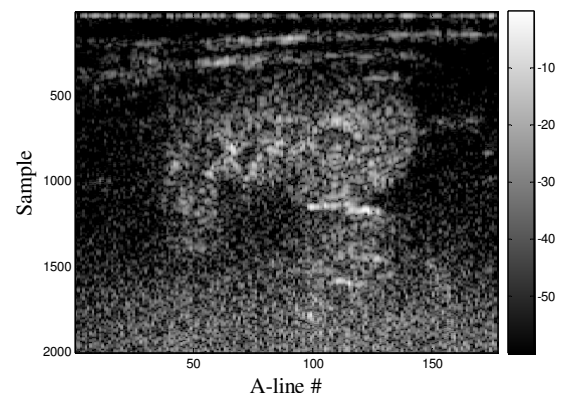
ภาพประกอบ 5-9 แสดงการเลื่อนจุดศูนย์กลางของวงจรกรองเกาส์เซียนสองมิติให้ออกห่างจากจุดกำเนิด ผลตอบสนองความถี่ความดราติก ตามเส้นตรง $f_1 + f_2 = 0 \text{ MHz}$ แสดงในภาพประกอบ 5-10 เมื่อปรับจุดศูนย์กลางของวงจรกรองเกาส์เซียนสองมิติเป็น (-2.90, 2.90) และ (2.90, -2.90), (-3.12, 3.12) และ (3.12, -3.12), (-3.30, 3.30) และ (3.30, -3.30) จะเห็นว่าภาพ Gray scale หลังจากผ่านวงจรกรองแสดงในภาพประกอบ 5-11 มีค่า CTR ค่าย ๆ เพิ่มขึ้นคือ 14.7 dB, 22.1 dB และ 24.8 dB ตามลำดับ แต่จะลดลงเมื่อห่างจากจุดกำเนิดมากเกินไป นั่นคือที่จุดศูนย์กลาง (-3.70, 3.70) และ (3.70, -3.70) มีค่า $CTR = 18.6 \text{ dB}$ และเมื่อพิจารณาความคมชัด เชิงพื้นที่ของภาพ Gray scale ที่ได้หลังจากผ่านวงจรกรองค้างบ่วงจะกรองเกาส์เซียนสองมิติดังกล่าว จะเห็นว่าไม่แตกต่างกัน ค่าที่เหมาะสมของการปรับเปลี่ยนคือที่จุดศูนย์กลาง (-3.30, 3.30) และ (3.30, -3.30) เพราะให้ความคมชัดของการเปรียบต่างเชิงปริมาณมากที่สุด



ภาพประกอบ 5-9 ขนาดของผลตอบสนองความถี่ ($|H(e^{j\omega_1}, e^{j\omega_2})|$) เมื่อเลื่อนจุดศูนย์กลางของวงจรกรองเกาส์เชิงสอดองมิติไปที่จุด (a) (-2.90, 2.90) และ (2.90, -2.90) (b) (-3.12, 3.12) และ (3.12, -3.12) (c) (-3.30, 3.30) และ (3.30, -3.30) (d) (-3.70, 3.70) และ (3.70, -3.70) (กำหนดค่า $\sigma = 0.34$, NFFT = 512, $N = 57$)



ภาพประกอบ 5-10 ผลตอบสนองความถี่ความอุดรัติกตามเส้นตรง $f_1 + f_2 = 0 \text{ MHz}$ ของบริเวณเนื้อเยื่อ (เส้นประ), บริเวณที่มีสารเพิ่มความคมชัด (เส้นทึบหนา) และค่าอนุ漉ความอุดรัติก $|H(e^{j\omega_1}, e^{-j\omega_1})|$ (เส้นทึบบาง) เมื่อปรับจุดศูนย์กลาง ตามภาพประกอบ 5-9 (a) (-2.90, 2.90) และ (2.90, -2.90) (b) (-3.12, 3.12) และ (3.12, -3.12) (c) (-3.30, 3.30) และ (3.30, -3.30) (d) (-3.70, 3.70) และ (3.70, -3.70)

(a) $CTR = 14.7 \text{ dB}$ (b) $CTR = 22.1 \text{ dB}$ (c) $CTR = 24.8 \text{ dB}$ (d) $CTR = 18.6 \text{ dB}$ 

ภาพประกอบ 5-11 ภาพ Gray scale หลังจากผ่านวงจรกรอง โดยมีความแตกต่างของระดับโภนสีจากขาวถึงดำ 60 dB เมื่อเลื่อนจุดศูนย์กลางของวงจรกรองเก้าส์เซี่ยนสองมิติไปที่จุด

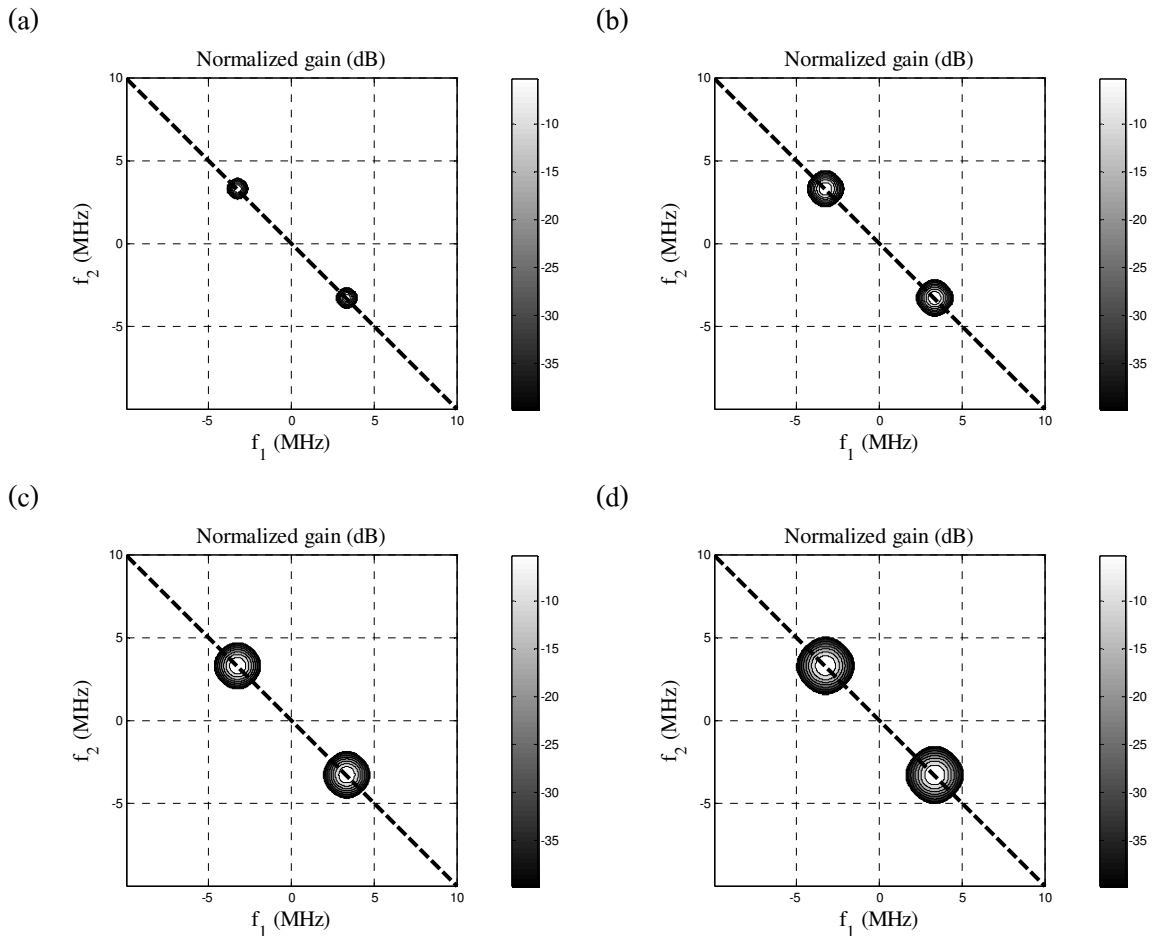
(a) (-2.90, 2.90) และ (2.90, -2.90) (b) (-3.12, 3.12) และ (3.12, -3.12)

(c) (-3.30, 3.30) และ (3.30, -3.30) (d) (-3.70, 3.70) และ (3.70, -3.70)

2) เมื่อปรับเปลี่ยนความแปรปรวน

โดยเลือก
การปรับเปลี่ยนค่าพารามิเตอร์ของวงจรกรองเกาส์เซียนสองมิติ

จุดศูนย์กลาง (-3.30, 3.30) และ (3.30, -3.30) แล้วปรับค่าความแปรปรวนจากค่าเบี่ยงเบนมาตรฐานคือ σ เท่ากับ 0.20, 0.35, 0.45, และ 0.55 แสดงผลตอบสนองความถี่ความต่อต้านดังภาพประกอบ 5-12(a), (b), (c), และ (d) (ผลตอบสนองความถี่ความต่อต้านตามเส้นตรง $f_1 + f_2 = 0$ MHz แสดงในภาพประกอบ 5-13) ค่า CTR ของภาพ Gray scale แสดงดังภาพประกอบ 5-14 เท่ากับ 24.7, 24.5, 20.6, และ 14.2 dB ตามลำดับ ทำนองเดียวกันกับการเลื่อนจุดศูนย์กลาง จะเห็นว่าการปรับค่าความแปรปรวนเพิ่มขึ้น ค่า CTR จะต่ำลง ภาพประกอบ 5-15 แสดงกราฟเส้นของเอาต์พุตความต่อต้านของภาพ Gray scale ตามเส้นประสีขาวเส้นที่ 127 ของภาพประกอบ 5-14 ลากเส้นตรงที่ระดับ -10 dB ตัดกราฟทั้งสี่เส้น พิจารณาตัวอย่างที่ 340-390 ซึ่งความห่างของจุดตัดทั้งสองของเส้นประชุดหนาห่างมากกว่า (แทนกว้างกว่า) ความห่างของจุดตัดทั้งสองของเส้นอื่น ๆ หรือกล่าวได้ว่าที่ค่าเบี่ยงเบนมาตรฐานเท่ากับ 0.20 จะเสียความคมชัดเชิงพื้นที่มากกว่าเมื่อเทียบกับการปรับค่าเบี่ยงเบนมาตรฐานอื่น (ค่าเบี่ยงเบนมาตรฐานเท่ากับ 0.35 และ 0.45) ที่มีความคมชัดเชิงพื้นที่ใกล้เคียงกัน ดังนั้นค่าเบี่ยงเบนมาตรฐานที่เหมาะสมจะต้องใกล้เคียงกับค่าที่อยู่ระหว่าง 0.35 ถึง 0.45

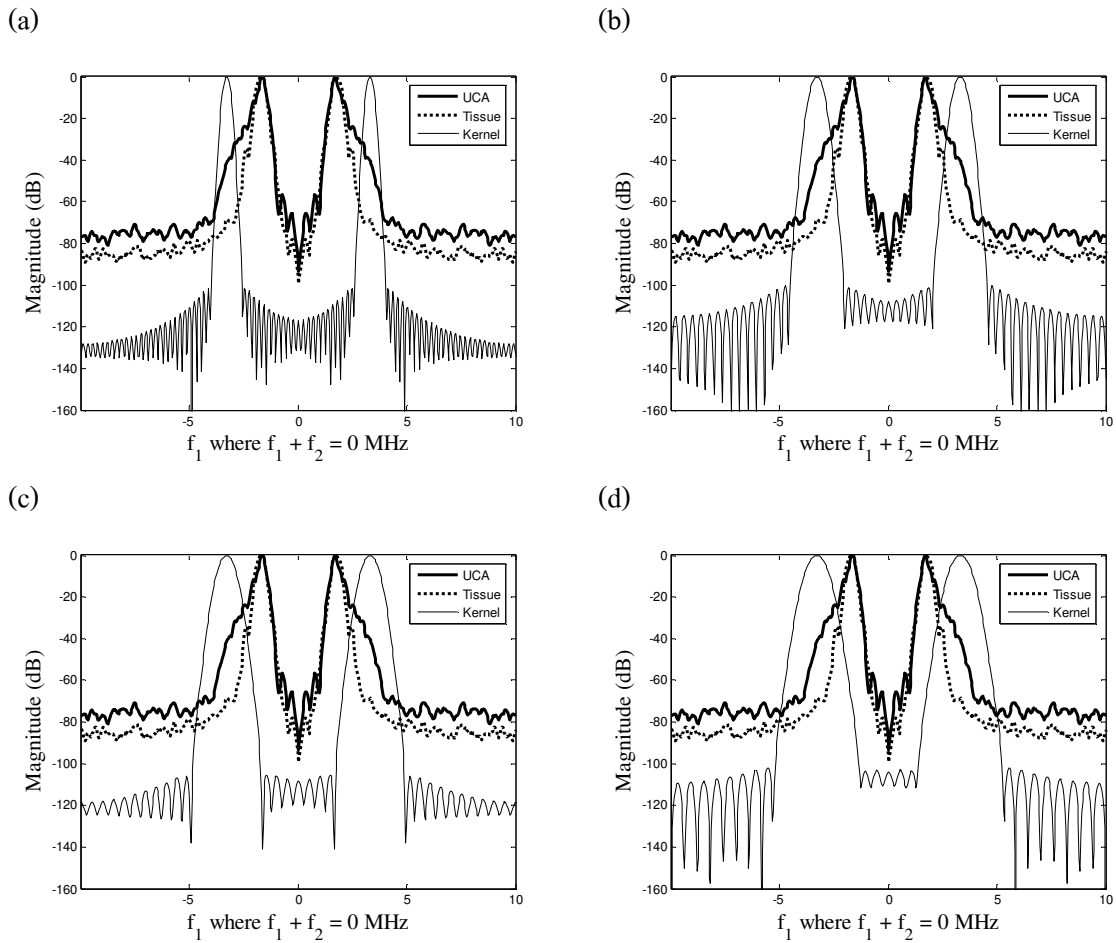


ภาพประกอบ 5-12 ขนาดของผลตอบสนองความถี่ ($|H(e^{j\omega_1}, e^{j\omega_2})|$) เมื่อปรับค่าความแปรปรวน

ของวงจรกรองแกส์ชีขอนสองมิติ (a) $\sigma = 0.20$, (b) $\sigma = 0.35$, (c) $\sigma = 0.45$, (d) $\sigma = 0.55$

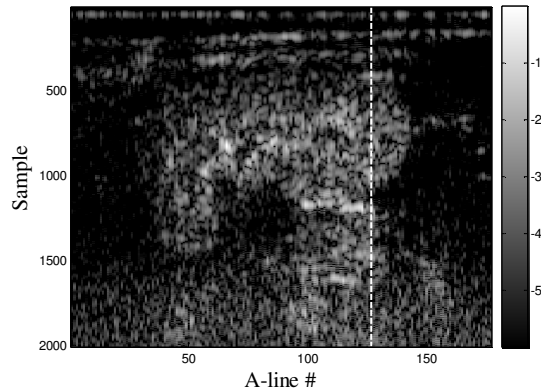
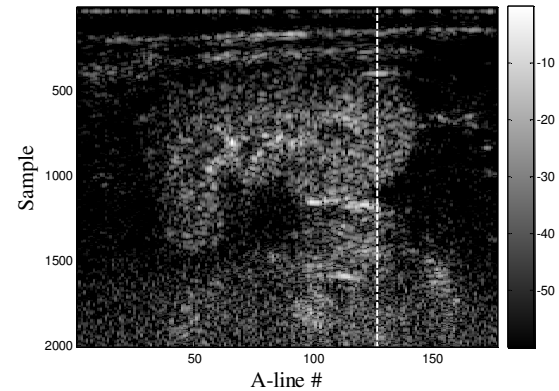
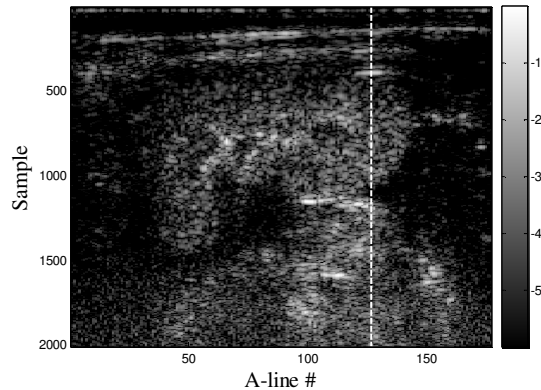
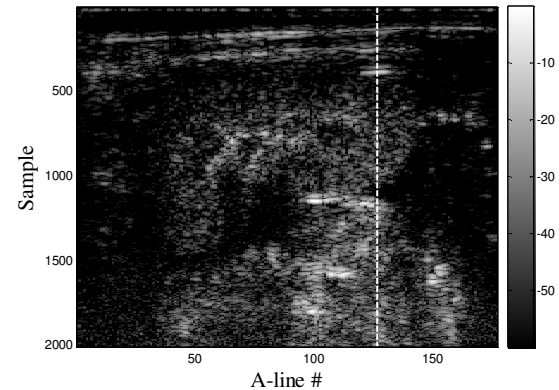
(กำหนดให้ชุดศูนย์กลาง (-3.30, 3.30) และ (3.30, -3.30), NFFT = 512)

มี Kernel size เท่ากับ 89, 51, 41, และ 33 ตามลำดับ

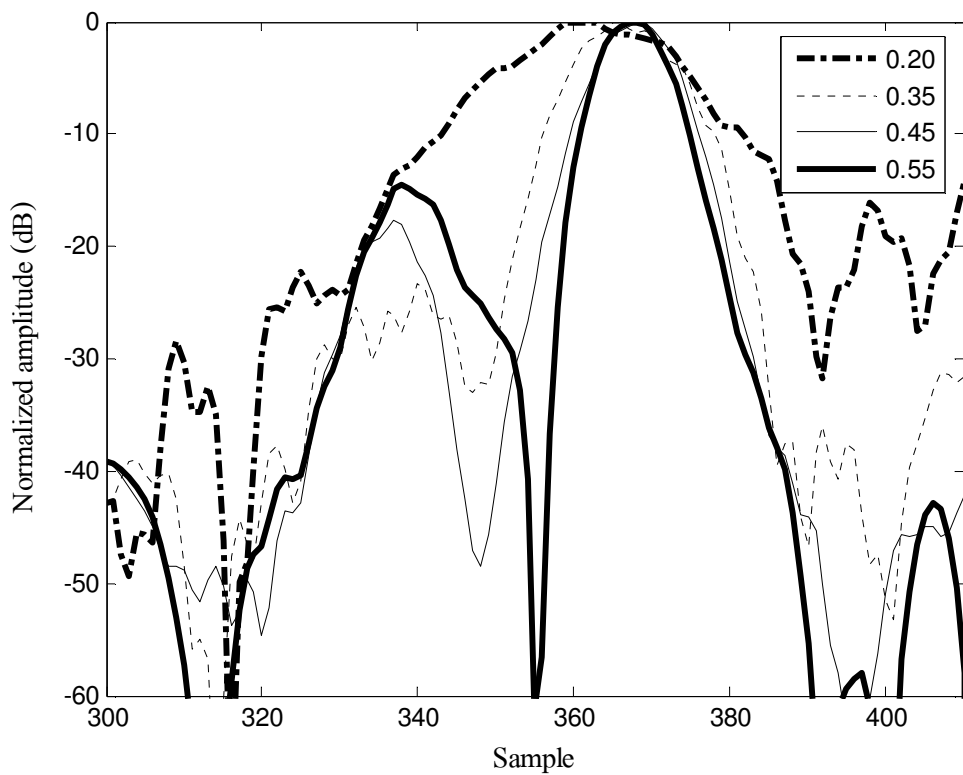


ภาพประกอบ 5-13 ผลตอบสนองความถี่ความดราติก ตามเส้นตรง $f_1 + f_2 = 0$ MHz สำหรับบริเวณ
เนื้อเยื่อ (เส้นประ), บริเวณที่มีสารเพิ่มความคมชัด (เส้นทึบหนา) และเคอเนลความดราติก
 $|H(e^{j\omega_1}, e^{j\omega_2})|$ (เส้นทึบบาง) เมื่อปรับค่าความแปรปรวนของวงจรกรองเก้าอี้ยนสองมิติ

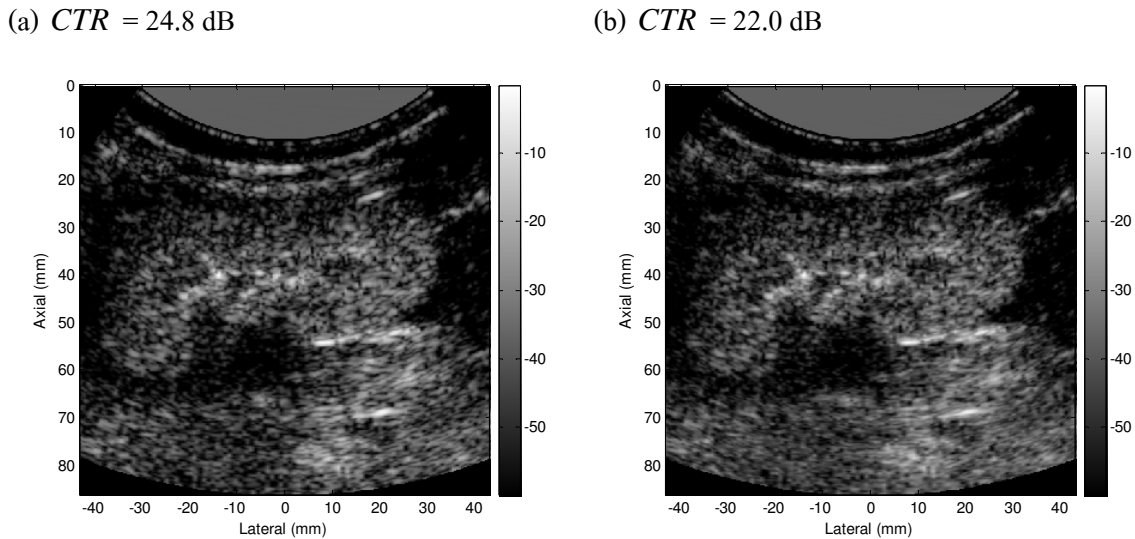
ตามภาพประกอบ 5-12 (a) $\sigma = 0.20$, (b) $\sigma = 0.35$, (c) $\sigma = 0.45$, (d) $\sigma = 0.55$

(a) $CTR = 24.7 \text{ dB}$ (b) $CTR = 24.5 \text{ dB}$ (c) $CTR = 20.6 \text{ dB}$ (d) $CTR = 14.2 \text{ dB}$ 

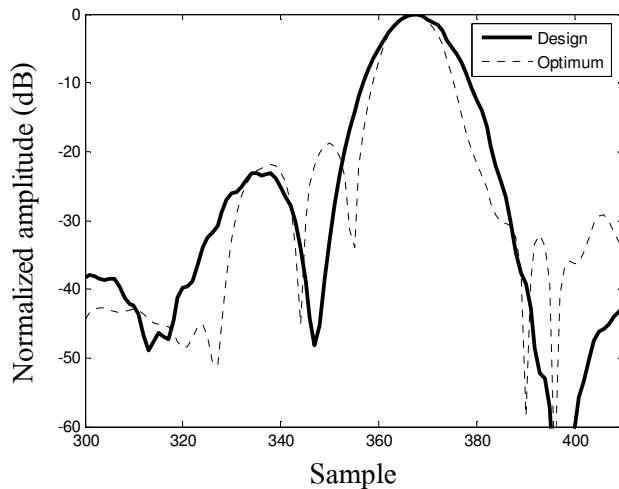
ภาพประกอบ 5-14 ภาพ B-mode หลังจากผ่านวงจรกรอง โดยมีความแตกต่างของระดับโภนสีจาก
ขาวถึงดำ 60 dB เมื่อปรับค่าความแปรปรวนของวงจรกรองเก้าส์เชิงสองมิติ (a) $\sigma = 0.20$,
(b) $\sigma = 0.35$, (c) $\sigma = 0.45$, (d) $\sigma = 0.55$



ภาพประกอบ 5-15 เอาร์พุตความร้าติกของภาพ Gray scale ตามเส้นประสิทธิภาพเส้นที่ 127
ของภาพประกอบ 5-14 เมื่อไม่พิจารณาการเลื่อนเฟสของสัญญาณเอาร์พุต
โดยพิจารณากลุ่มตัวอย่างที่ 300-410 ตัวอย่างแรก



ภาพประกอบ 5-16 ภาพ Gray scale หลังจากผ่านวงจรกรองที่ได้จาก (a) Design (b) Optimum โดยมีความแตกต่างของระดับโภนสีจากขาวถึงดำ 60 dB



ภาพประกอบ 5-17 เอ้าต์พุตค่าอัตราติกของภาพ Gray scale ตามเส้นประสิทธิภาพที่ 127 ของภาพประกอบ 5-11(c) (Design) และ 4-8 (Optimum) เมื่อไม่พิจารณาการเลื่อนเฟสของสัญญาณ เอ้าต์พุต โดยพิจารณาจาก 300-410 ตัวอย่างแรก แสดงเป็นเส้นทึบและเส้นประ ตามลำดับ

5.2.2.3 การเปรียบเทียบคุณภาพของภาพที่ได้จากการออกแบบวงจรกรองค่าอัตราติกใหม่กับวงจรกรองค่าอัตราติกจากการแก้ระบบสมการเชิงเส้น

เออต์พุตค่าอุดรัติกเมื่อผ่านวงจรกรองค่าอุดรัติกที่เหมาะสมกับการแยกความถี่ สาร์มอนิกอันดับสองจากการออกแบบและการแก้ระบบสมการเชิงเส้น แสดงเป็นภาพระดับโทนสี จากขาวถึงดำ 60 dB ดังภาพประกอบ 5-16(a) และ 5-16(b) ตามลำดับ เมื่อนำเส้น A-line # 127 ของ ภาพประกอบ 4-8 (Optimum) และของภาพประกอบ 5-11(c) (Design) แสดงเป็นกราฟเส้นดัง ภาพประกอบ 5-17 ด้วยเส้นทึบ (Design) และเส้นประ (Optimum) ตามลำดับ จะเห็นว่าความคอมชัด เชิงพื้นที่ใกล้เคียงกัน นอกจานนี้ Kernel size เท่ากันด้วย แต่ภาพที่ได้จากการกรองเก้าอี้เช่นให้ ความคอมชัดของการเบริชบ์ต่างมากกว่าภาพที่ได้จากการผ่านวงจรกรองค่าอุดรัติกจากการแก้ สมการพีชคณิตเชิงเส้นอยู่ 2.8 dB

5.3 การใช้งานกรองค่าอุดรัติกด้วยวิธีการแยกค่าเอกฐาน

5.3.1 ทฤษฎี

ผลตอบสนองอิมพลัสของวงจรกรองค่าอุดรัติก ที่ได้จากการออกแบบในโอดเมน ความถี่ นำมาสร้างเป็นวงจรกรองค่าอุดรัติกได้โดยการประยุกต์วิธีการแยกค่าเอกฐาน (Singular value decomposition) เออต์พุตของวงจรกรองค่าอุดรัติกที่มีหน่วยความจำจำกัดเท่ากับ N เมื่อ N เป็นจำนวนเต็มบวกคี่ และเพื่อความสะดวกจึงเขียนวงจรกรองค่าอุดรัติกใหม่ดังนี้

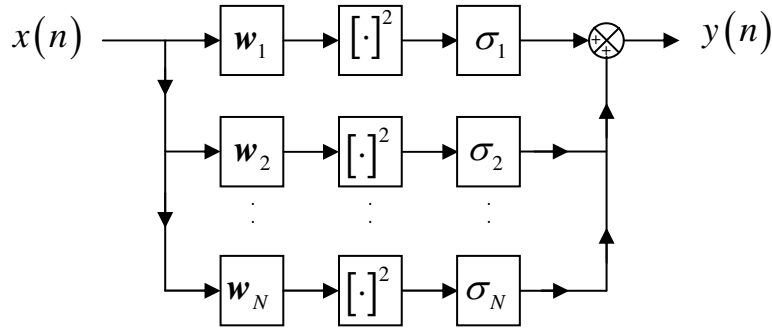
$$y(n) = \sum_{i=0}^{N-1} \sum_{j=0}^{N-1} h(i, j) x(n-i) x(n-j), \quad (5-7)$$

โดยที่ $y(n)$ คือเวกเตอร์เออต์พุต, $x(n)$ คือเวกเตอร์อินพุต และ $h(i, j)$ คือสมาชิกของ ค่าอุดรัติกโอนเล ซึ่งสามารถเขียน $y(n)$ ให้อยู่ในรูปเมตริกซ์ได้ดังนี้ [4]

$$y(n) = \mathbf{x}_N^T(n) \mathbf{H}_o \mathbf{x}_N(n), \quad (5-8)$$

โดยที่ $\mathbf{x}_N(n)$ คือเวกเตอร์อินพุต นิยามด้วย

$$\mathbf{x}_N(n) = [x(n) \ x(n-1) \ \dots \ x(n-N+1)]^T,$$



ภาพประกอบ 5-18 โครงสร้างของวงจรกรองความถี่ดิจิติกโดยการประยุกต์ใช้การแยกค่าเอกฐาน

\mathbf{H}_o คือความถี่ดิจิติกโคลน โดย $h(i, j)$ เป็นสมาชิกตัวที่ (i, j) ของโคลน และเมื่อ $h(i, j)$ เป็นจำนวนจริง และมีความสมมาตร ($h(i, j) = h(N-1-i, N-1-j)$) สามารถแยกค่าเอกฐานของเมตริกซ์ \mathbf{H}_o ได้ดังนี้

$$\mathbf{H}_o = \mathbf{W} \mathbf{S} \mathbf{W}^T = \mathbf{W}^T \mathbf{S} \mathbf{W}, \quad (5-9)$$

โดยที่ \mathbf{S} คือเมตริกซ์ในแนวเส้นทแยงมุมหลักซึ่งประกอบด้วยสมาชิกที่เป็นค่าเอกฐานของเมตริกซ์ \mathbf{H}_o นั่นคือ $\mathbf{S} = \text{diag}(\sigma_1, \sigma_2, \dots, \sigma_N)$, โดย $\sigma_1 \geq \sigma_2 \geq \dots \geq \sigma_N \geq 0$, และ $\mathbf{W} = [\mathbf{w}_1 \ \mathbf{w}_2 \ \dots \ \mathbf{w}_N]$ คือเมตริกซ์ที่ประกอบด้วย Eigenvector $\mathbf{w}_1, \mathbf{w}_2, \dots, \mathbf{w}_N$ ซึ่งสอดคล้องกับค่าเอกฐาน $\sigma_1, \sigma_2, \dots, \sigma_N$ ตามลำดับ โดยที่เมื่อ $j = 1, 2, \dots, N$ จะได้ว่า $\mathbf{w}_j = [w_j(0) \ w_j(1) \ \dots \ w_j(N-1)]^T$ และ T แทน transpose ของเมตริกซ์ แล้วเขียนสมการ (5-8) ใหม่ได้ว่า

$$\begin{aligned} y(n) &= \mathbf{x}_N^T(n) \mathbf{W}^T \mathbf{S} \mathbf{W} \mathbf{x}_N(n) \\ &= (\mathbf{W} \mathbf{x}_N(n))^T \mathbf{S} (\mathbf{W} \mathbf{x}_N(n)) \\ &= \sum_{j=1}^N \sigma_j \left[\sum_{i=0}^{N-1} w_j(i) x(n-i) \right]^2 \end{aligned} \quad (5-10)$$

ผลลัพธ์ที่ได้จากการ (5-10) สามารถนำมาเขียนเป็นโครงสร้างของวงจรกรองความถี่ดิจิติกได้ดังภาพประกอบ 5-18 โดยที่สัญญาณที่ผ่านวงจรกรองเชิงเส้นของแต่ละโมดูลน้ำไปยกกำลังสองแล้วคูณด้วยค่าเอกฐานของโมดูลนั้น ๆ หลังจากนั้นจึงนำสัญญาณจากแต่ละโมดูลรวมกัน

5.3.2 ผลการทดลอง

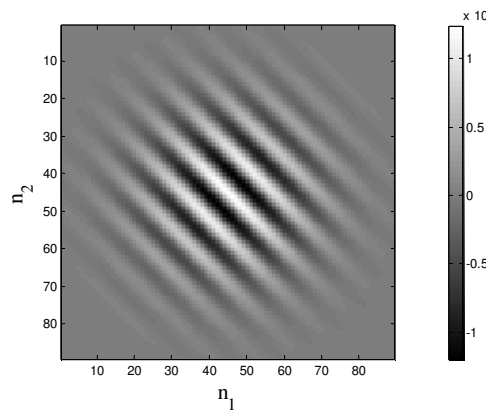
5.3.2.1 The L-shaped phantom

วงจรกรองความติดก็อกที่กำหนดให้ σ เท่ากับ 0.40 มีจุดศูนย์กลาง (-3.30, 3.30) และ (3.30, -3.30) ตามภาพประกอบ 5-7(c) และเป็นเคอนเลคของความติดก็อกที่สร้างจากทุกโมด และสร้างจาก 2 โมดแรก ดังภาพประกอบ 5-19(a) และ 5-19(b) ตามลำดับ ภาพที่ได้หลังจากผ่านวงจรกรองความติดก็อกทั้งสองจะให้คุณภาพของภาพเหมือนกัน ดังภาพประกอบ 5-20 โดยความคมชัดของการเบรี่ยบต่างในเชิงปริมาณ มีค่า CTR เท่ากับ 37.3 dB สอดคล้องกับค่าเอกสารฐานของเคอนเลคของความติดก็อกที่สร้างจากทุกโมดดังภาพประกอบ 5-21 ซึ่งสองโนดแรกมีค่าเท่ากับ 0.018 แต่โนดอื่น มีค่าเป็นศูนย์

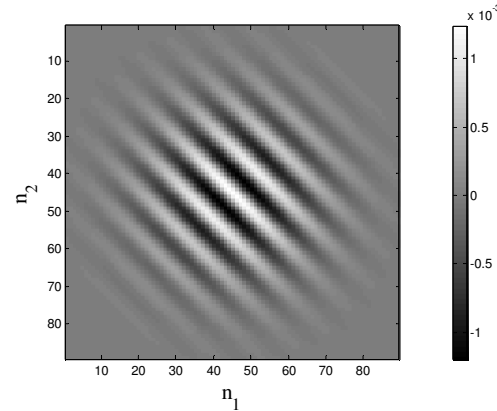
การหาจำนวนการคูณนั้นจะพิจารณาจากคูณสมบัติของเคอนเลคที่มีความสมมาตร ซึ่งในกรณีการคูณกันของเมตริกซ์จะทำให้เกิดเทอมที่ซ้ำกัน ดังนั้นในหัวข้อนี้เราจะพิจารณา เคไฟจำนวนการคูณที่มีเทอมไม่ซ้ำกัน (Independent) เพื่อให้ได้อาตพุต $y(n)$ หนึ่งค่าเรียกสั้น ๆ ว่าจำนวนการคูณ [4] มีค่าเท่ากับ $P(P+1)$ โดยที่ P คือ Kernel size สำหรับกรณีที่สร้างจาก ทุกโมด (Operation per sample มี Order เท่ากับ $O(P^2)$) และจำนวนการคูณเท่ากับ $d(P+1)$ ในกรณีที่สร้างจาก Singular โนดที่มีนัยสำคัญ โดยที่ d คือจำนวน Eigenvalue ที่มีค่าสูงกว่าดาวอิน ๆ (Operation per sample มี Order เท่ากับ $O(dP)$)

สำหรับข้อมูลเนื้อเยื่อเทียมรูปตัวแอล เคอนเลคของความติดก็อกที่เหมาะสมมี $P = 89$ จำนวนการคูณเมื่อสร้างจากทุกโมดเท่ากับ $89 \times 90 = 8,010$ ครั้งต่อ Sample แต่กรณีใช้สองโนดแรก จำนวนการคูณลดลงเหลือเพียง $2 \times 90 = 180$ ครั้งต่อ Sample เท่านั้น ซึ่งลดลงเป็นอย่างมาก

(a) สร้างจากทุกโมด

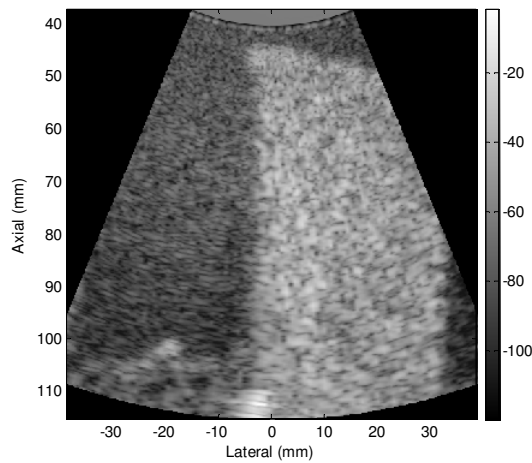
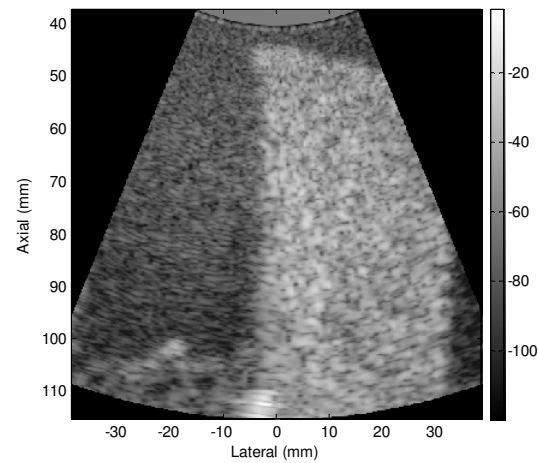


(b) สร้างจาก 2 โมดแรก

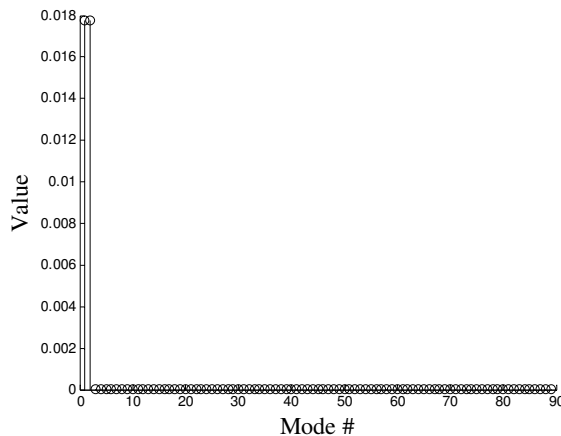


ภาพประกอบ 5-19 เคอเนลค่าอดรำติกของผ่านวงจรกรองตามภาพประกอบ 5-7(c) จุดศูนย์กลาง (-3.30, 3.30) และ (3.30, -3.30) (กำหนดให้ $\sigma = 0.40$, NFFT = 512, $N = 89$)

(a) สร้างจากทุกโมด (b) สร้างจาก 2 โมดแรก

(a) $CTR = 37.3 \text{ dB}$ (b) $CTR = 37.3 \text{ dB}$ 

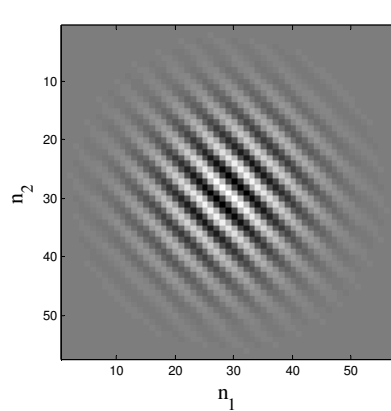
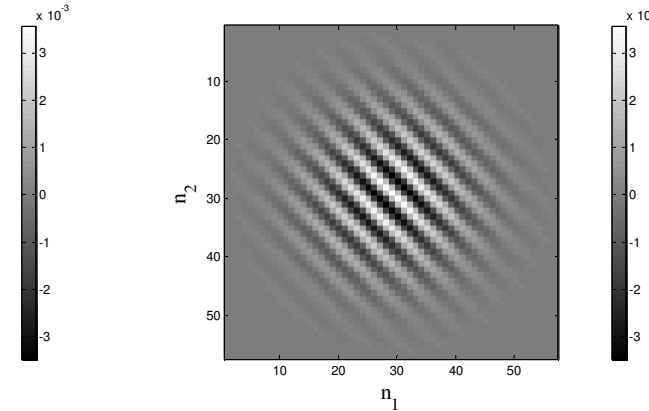
ภาพประกอบ 5-20 ภาพ Gray scale หลังจากผ่านวงจรกรอง โดยมีความแตกต่างของระดับโภนสี จากขาวถึงดำ 110 dB (a) ผ่านวงจรกรองที่สร้างจากทุกโมด (b) ผ่านวงจรกรองที่สร้างจาก 2 โมดแรก ซึ่งสอดคล้องกับเคอเนลค่าอดรำติกดังภาพประกอบ 5-19(a) และ 5-19(b) ตามลำดับ



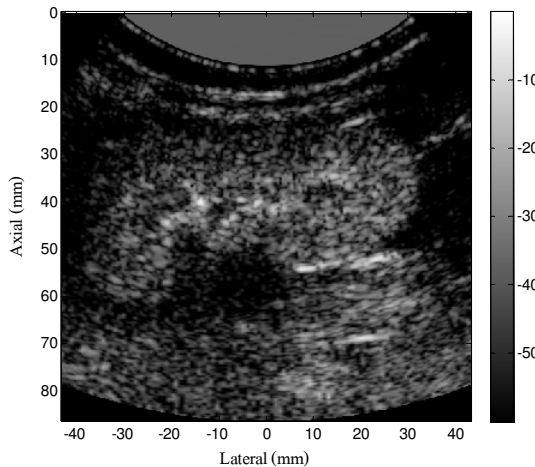
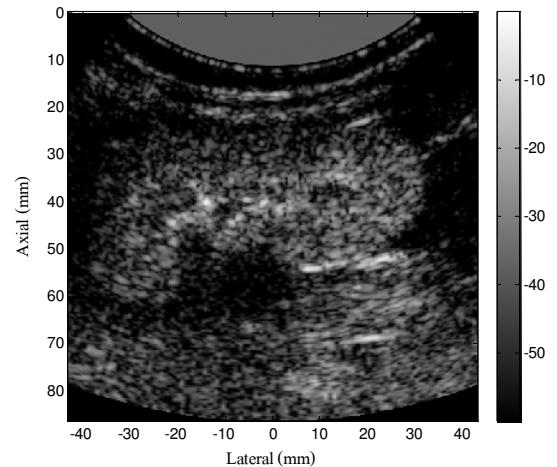
ภาพประกอบ 5-21 ค่าเอกฐานของเคอนเนลค่าอตราติกของวงจรกรอง
ตามภาพประกอบ 5-19(a) สร้างจากทุกโมด

5.3.2.2 *In-vivo* data

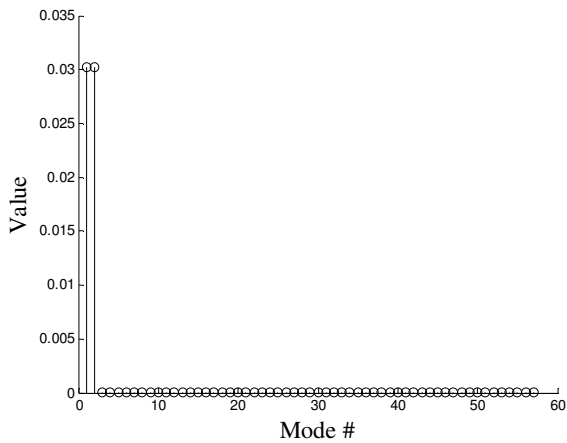
การประยุกต์ใช้วิธีแยกค่าเอกฐานกับวงจรกรองค่าอตราติกที่เหมาะสมสำหรับการแยกความถี่ชาร์มอนิกอันดับสอง สามารถเลือกจำนวนโมดที่มีนัยสำคัญและช่วยลดการคำนวณเนื่องจากการใช้อุปกรณ์ในการสร้างวงจรกรองค่าอตราติกลดลง เคอนเนลค่าอตราติกและภาพ Gray scale หลังจากผ่านวงจรกรอง แสดงดังภาพประกอบ 5-22 และ 5-23 ตามลำดับ จะเห็นว่าเมื่อสร้างวงจรกรองด้วยการประยุกต์ใช้การแยกค่าเอกฐานแล้ว ความคมชัดของการเปรียบต่างของภาพที่ได้จากการอัลตราซาวนด์หลังจากผ่านวงจรกรองดังกล่าวไม่แตกต่างกัน นั่นคือ *CTR* เท่ากันเท่ากับ 24.8 dB เมื่อพิจารณาค่าเอกฐานของเคอนเนลค่าอตราติกทุกโมดตามภาพประกอบ 5-23(a) แสดงได้ดังภาพประกอบ 5-24 ซึ่งมี 2 โมดที่มีนัยสำคัญเท่านั้น โดยมีค่าเท่ากับ 0.030 เท่ากัน นอกจากนี้ เมื่อเปรียบเทียบเอาต์พุตค่าอตราติกของภาพ Gray scale ตามเส้นประสิทธิภาพเส้นที่ 127 ซึ่งสร้างวงจรกรองจากทุกโมดกับการสร้างด้วยสองโมดแรก ดังแสดงด้วยเส้นทึบและเส้นประในภาพประกอบ 5-25 ตามลำดับ จะให้ความคมชัดเชิงพื้นที่มีความใกล้เคียงกัน ด้วยเทคนิคการใช้วิธีการแยกค่าเอกฐานสำหรับวงจรกรองค่าอตราติก สามารถแยกความถี่ชาร์มอนิกอันดับสองได้ เช่นเดียวกับวงจรกรองค่าอตราติกที่ไม่ได้ผ่านการแยกค่าเอกฐาน เนื่องจากคุณสมบัติ Separation ของวงจรกรองเกาส์เซียน สำหรับข้อมูลที่ได้จากการสแกนไทด์มูน เคอนเนลค่าอตราติกที่เหมาะสมมี $P = 57$ จำนวนการคูณเมื่อสร้างจากทุกโมดเท่ากับ $57 \times 58 = 3,306$ ครั้งต่อ Sample ทำนองเดียวกันกรณีใช้สองโมดแรก จำนวนการคูณลดลงเหลือเพียง $2 \times 58 = 116$ ครั้งต่อ Sample เท่านั้น

(a) $N = 57$ (b) $N = 57$ 

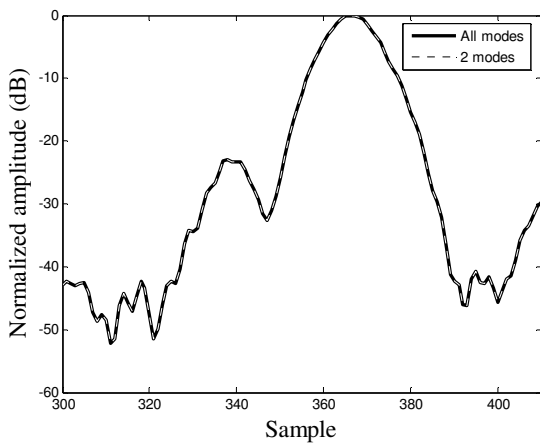
ภาพประกอบ 5-22 เคอเนลความถี่ต่ำของวงจรกรองตามภาพประกอบ 5-11(c) จุดศูนย์บ่อกลาง (-3.30, 3.30) และ (3.30, -3.30) (a) สร้างจากทุกโมด (b) สร้างจาก 2 โมดแรก

(a) $CTR = 24.8 \text{ dB}$ (b) $CTR = 24.8 \text{ dB}$ 

ภาพประกอบ 5-23 ภาพ B-mode หลังจากผ่านวงจรกรอง โดยมีความแตกต่างของระดับโภนสีจากขาวถึงดำ 60 dB (a) ผ่านวงจรกรองที่สร้างจากทุกโมด (b) ผ่านวงจรกรองที่สร้างจาก 2 โมดแรก



ภาพประกอบ 5-24 ค่าเอกฐานของเกอนเลคาวดราติกของวงจรกรองตามภาพประกอบ 5-22(a)



ภาพประกอบ 5-25 เอาร์พุตคาวดราติกของภาพ Gray scale ตามเส้นประสีขาวเส้นที่ 127 ของ
ภาพประกอบ 5-23(a) และ 5-23(b) เมื่อไม่พิจารณาการเลื่อนเฟสของสัญญาณเอาร์พุต
โดยพิจารณากลุ่มตัวอย่างที่ 300-410 ตัวอย่างแรก แสดงเป็นเส้นทึบ (All modes)
และเส้นประ (2 modes) ตามลำดับ

สรุป

บทนี้อธิบายวิธีการออกแบบวงจรกรองคาวดราติกที่เหมาะสม สำหรับปรับปรุงคุณภาพของภาพจากอัลตราซาวนด์ที่ใช้สารเพิ่มความคมชัดซึ่งกล่าวในหัวข้อ 5.1 หัวข้อ 5.2 กล่าวถึงการพิสูจน์วงจรกรองที่ได้ออกแบบด้วยข้อมูลจริงทั้งแบบข้อมูลเนื้อเยื่อเทียมรูปตัวแอลและการทดสอบด้วยภาพจริง ผลการทดสอบยืนยันว่าวงจรกรองสามารถลดความไม่แน่นอนของภาพและเพิ่มคุณภาพของภาพได้成績。

ข้อมูลที่ได้จากการสแกนไถหมู ว่าอัลกอริทึมที่สร้างมาแล้วสามารถทำงานได้ดี ค่าพารามิเตอร์ที่เหมาะสมสำหรับข้อมูลเนื้อเยื่อเทียมรูปตัวแอล คือจุดศูนย์กลางอยู่ที่ (-3.30, 3.30) และ (3.30, -3.30), ค่าเบี่ยงเบนมาตรฐานเท่ากับ 0.40 สำหรับ *in-vivo* data ค่าที่เหมาะสมของจุดศูนย์กลางคือ (-3.30, 3.30) และ (3.30, -3.30), ค่าเบี่ยงเบนมาตรฐานต้องใกล้เคียงกับค่าที่อยู่ระหว่าง 0.35 ถึง 0.45 สุดท้ายได้กล่าวถึงการประยุกต์ใช้วิธีการแยกค่าเอกสารฐานกับวงจรกรองความคราติกเพื่อลดการคำนวน

เอกสารอ้างอิง

- [1] W.-P. Zhu, M. O. Ahmad and M. N. S. Swamy, “A Least-Square Design Approach for 2-D FIR Filters with Arbitrary Frequency Response,” *IEEE Trans. Circuits Syst. II*, vol. 46, no. 8, pp. 1027-1034, Aug. 1999.
- [2] W.-P. Zhu, M. O. Ahmad and M. N. S. Swamy, “A Least-Square Method for the Design of 2-D FIR Digital Filters with Arbitrary Frequency Responses,” in *IEEE Proc. Int. Symp. Circuits Syst.*, June 1997, pp. 769-772.
- [3] A. McAndrew, “Introduction to Digital Image Processing,” *Thomson Course Technology*, pp. 101-103, USA, 2004.
- [4] P. Phukpattaranont, N. Jindapetch and K. Chetpattananondh, “An Efficient Implementation of Quadratic B-Mode (QB-Mode) Ultrasonic Imaging,” in *Proc. of the 2006 ECTI international conference (ECTI-2006)*, May 2006, vol.1, pp. 80-83.